




## Spatio-temporal behavior of atmospheric concentration of NO<sub>2</sub> using OMI sensor and its effect on precipitation in Iran

Abolhassan GHeibi <sup>1✉</sup> | Ali Soleymani <sup>2</sup> | hossein malakooti<sup>3</sup>

1. Corresponding author, Associate Professor, Faculty of Science, University of Hormozgan, Iran.  
E-mail: [abolhassang@hormozgan.ac.ir](mailto:abolhassang@hormozgan.ac.ir)
2. PhD. Student of Meteorology, Faculty of Marine Science and Technology, university of Hormozgan, Iran  
E-mail: [alisoylemani67@yahoo.com](mailto:alisoylemani67@yahoo.com)
3. Associate Professor, Faculty of Marine Science and Technology, university of Hormozgan, Iran  
E-mail: [malakooti@hormozgan.ac.ir](mailto:malakooti@hormozgan.ac.ir)

Article Info	ABSTRACT
<p><b>Article type:</b> Research Article</p> <p><b>Article history:</b> Received 2022/07/17 Received in revised 2022/01/11 Accepted 2022/09/28 Pre-Published 2022/09/28 Published online 2025/03/21</p> <p><b>Keywords:</b> Nitrogen dioxide, air pollution, OMI, precipitation</p>	<p>Nitrogen dioxide is a significant factor affecting air quality in various regions worldwide. The aim of this study is to examine the concentration and trends of nitrogen dioxide pollution between 2005 and 2018, and explore its association with precipitation levels in the region. Based on data derived from the OMI sensor in Iran, the average vertical column concentration of nitrogen dioxide during this period revealed that the highest concentration was observed in the troposphere. Megacities, particularly Tehran metropolis, exhibited elevated levels of nitrogen dioxide due to the high population density and extensive road transportation. Analyzing the annual changes in nitrogen dioxide concentration in the troposphere alongside the average annual precipitation in Iran, it was observed that the pollutant concentration increased from 2005 to 2016 and subsequently decreased from 2016 to 2018, primarily due to population growth. However, when considering the overall trend, there was an upward trend with a slope of <math>3.53 \times -2</math>. In contrast, the time series analysis of average annual precipitation in Iran demonstrated a declining trend with a slope of <math>(-0.159 \text{ mm} \times )</math>. Comparing the trends of these two variables, it can be deduced that they exhibit a negative correlation.</p>
<p><b>Cite this article:</b> Gheibi, Abolal Hassan., Soleymani, Ali., &amp; Malakooti, Hossein. (2025). Spatio-temporal behavior of atmospheric concentration of NO<sub>2</sub> using OMI sensor and its effect on precipitation in Iran. <i>Journal of Applied Researches in Geographical Sciences</i>, 25 (76), 248-261. DOI: <a href="http://dx.doi.org/10.61186/jgs.25.76.19">http://dx.doi.org/10.61186/jgs.25.76.19</a></p>	
<p> © The Author(s). Publisher: Kharazmi University DOI: <a href="http://dx.doi.org/10.61186/jgs.25.76.19">http://dx.doi.org/10.61186/jgs.25.76.19</a></p>	



## Extended Abstract

### Introduction

Nitrogen dioxide is a significant indicator of atmospheric air pollution, which is a leading factor in the degradation of air quality worldwide. In addition to natural emissions, nitrogen dioxide is predominantly generated through human activities such as transportation, industrial operations, residential heating, power plants, and other related sources. By scrutinizing the data on NO<sub>x</sub> emissions from both natural and artificial sources in Iran, as provided by the European Research Center EDGAR during the period from 1970 to 2012, it becomes evident that the emission of nitrogen dioxide in Iran has witnessed an upward trend. The primary sources of these emissions in Iran encompass road transportation, heat and electricity generation, residential sectors, energy production industries, oil and gas resources, as well as direct soil emissions. When considering the average vertical column concentration of nitrogen dioxide in Iran between the years 2005 and 2018, as observed by the OMI sensor, it becomes apparent that the highest concentration of nitrogen dioxide is found in urban areas, particularly in the densely populated metropolis of Tehran, which experiences extensive intercity road traffic. Isfahan, Karaj, Mashhad, Ahvaz, and Shiraz also exhibit elevated levels of nitrogen dioxide due to their high population densities and industrial activities.

### Material and Methods

Examining the trend of annual changes in the vertical column concentration of nitrogen dioxide and the average annual rainfall in Iran, it is evident that the concentration of this pollutant has increased due to population growth and human activities from 2005 to 2016, as well as from 2016 to 2018. In general, there is an increasing trend with a slope of  $3/53^* - 2$  for the nitrogen dioxide concentration, in contrast to the decreasing trend with a slope of  $(-0.159 \text{ mm}^*)$  for the average time series of annual rainfall in Iran. By comparing these two parameters, a negative impact on each other can be observed. For instance, in 2016, when the concentration of nitrogen dioxide was higher than in 2015 and 2017, the amount of rainfall in 2016 was lower than in previous and subsequent years. Moreover, an inverse relationship between the concentration of pollutants and precipitation is observed in 2009, 2010, 2011, 2015, and 2008. This is attributed to the dissolution of pollutants inside and below the cloud by precipitation, resulting in cleaner air in the region. Examining the changes in nitrogen dioxide using the Mankendal z statistical method in Iran, it is evident that industrial cities such as Isfahan, Yazd, Arak, and the south of Tehran, as well as southern coastal cities with refineries, exhibit a significant upward trend.

### Results and Discussion

Furthermore, concerning rainfall patterns, there is a noteworthy increase in the northwestern region of the country, while a significant decrease is observed in the eastern and southeastern parts. Moreover, the age estimation slope for nitrogen dioxide and precipitation indicates that Tehran exhibits the highest increasing slope for nitrogen dioxide, whereas the northern



Kharazmi University

# Journal of Applied Researches in Geographical Sciences

Print ISSN: 2228-7736

Online ISSN: 2588-5138

<https://jgs.khu.ac.ir/>



regions display the highest increasing slope for precipitation. To conduct a more comprehensive investigation into the interplay of these factors, four major cities with high pollution levels, namely Tehran, Isfahan, Mashhad, and Ahvaz, were selected. It is important to note that errors may arise when comparing precipitation and vertical column concentration on a large scale. Examining the diagrams for the period of 2005-2008 pertaining to these four cities, it becomes apparent that the average annual rainfall in these locations demonstrates a negative slope, indicating a decreasing trend. Notably, Tehran exhibits the most pronounced decreasing slope at a rate of 2.6139mm/year, while Mashhad displays the lowest decreasing slope at -0.4445mm/year. In contrast, the concentrations of the vertical vertebral column in these cities show an increasing trend, with Tehran exhibiting the highest positive slope and Isfahan displaying the lowest positive slope. Based on the diagrams, it can be observed that in most years, the intensity of precipitation is higher during winter compared to autumn. Conversely, the concentration of nitrogen dioxide is higher in autumn due to the process of moisture deposition. In other words, pollutants are washed away by precipitation, leading to dilution. Consequently, the atmosphere becomes more polluted, particularly in autumn.

## Conclusion

Examining the trend of annual changes in the vertical column concentration of nitrogen dioxide and the average annual rainfall in Iran, we can observe that the concentration of this pollutant has increased with the rise in population and human activities from 2005 to 2016. However, it decreased from 2016 to 2018. Overall, it has shown an increasing trend with a slope of  $3/5297 \times 10^{-2}$ , contrasting with the time series of average annual rainfall in Iran. The average annual rainfall in Iran has exhibited a decreasing trend with a slope of  $(-0/5978 \text{ mm/year})$ .

## بررسی تراز و رفتار زمانی - مکانی غلظت وردسپهری $NO_2$ با استفاده از سنجنده OMI و تأثیرش بر روی بارش (مطالعه موردی کشور ایران)

ابوالحسن غیبی<sup>۱</sup>، علی سلیمانی دامنه<sup>۲</sup>، حسین ملکوتی<sup>۳</sup>

۱. نویسنده مسئول، استادیار دانشکده علوم پایه، دانشگاه هرمزگان، بندرعباس، ایران. رایانامه: [abolhassang@yahoo.com](mailto:abolhassang@yahoo.com)
۲. دانشجوی دکتری هواشناسی، دانشکده علوم و فنون دریایی، دانشگاه هرمزگان، بندرعباس، ایران. رایانامه: [a.soleymani67@yahoo.com](mailto:a.soleymani67@yahoo.com)
۳. دانشیار دانشکده علوم و فنون دریایی، دانشگاه هرمزگان، بندرعباس، ایران. رایانامه: [malakooti@hormozgan.ac.ir](mailto:malakooti@hormozgan.ac.ir)

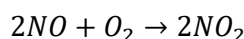
اطلاعات مقاله	چکیده
نوع مقاله: مقاله پژوهشی	نیتروژن دی اکسید از شاخص های مهم آلودگی هوا در جو می باشد. $NO_2$ علاوه بر گسیل طبیعی به طور عمده توسط فعالیت های انسان ساخت همچون حمل و نقل، صنعت، گرمایش خانگی، نیروگاه های انرژی و سایر موارد تولید می شود. هدف ما در این مقاله بررسی غلظت نیتروژن دی اکسید و تأثیر آن بر بارش منطقه می باشد. بررسی داده های جهانی مربوط به گسیل سطحی این آلاینده در فضای ایران نشان می دهد که بیشترین مقدار گسیل مربوط به کلان شهرها می باشند که می تواند از نقل و انتقالات جاده ای، تولیدات گرمایی و الکتریکی ناشی شده باشد. با بررسی روند تغییرات نیتروژن دی اکسید با استفاده از روش آماری من کندال Z بر روی منطقه مورد مطالعه (ایران) مشاهده می شود که در شهرهای صنعتی مثل اصفهان، یزد، اراک و جنوب تهران و شهرهایی ساحلی جنوب به علت افزایش فعالیت های انسانی در حوزه منابع نفت و گاز و پالایشگاه ها روند افزایشی معنی داری را نشان می دهند. براساس آنالیز داده های بارش، روند تغییرات بارش در قسمت شمال غرب کشور افزایش معنی دار و قسمت شرق و جنوب شرق کشور کاهش معنی داری را نشان می دهد. همچنین شیب تخمین گرسن برای نیتروژن دی اکسید و بارش نشان می دهد که تهران دارای بیشترین شیب افزایشی سالانه $(2 - 10^{14} \text{ molecule/cm}^2 * 6.2)$ برای نیتروژن دی اکسید می باشد. با مقایسه داده های گسیل سطحی نیتروژن دی اکسید و داده های غلظت ستون قائم تروپوسفری این آلاینده مشاهده می کنیم که یک همبستگی خوبی این دو پارامتر وجود دارد و مکان هایی با بیشترین گسیل سطحی دارای بیشترین غلظت ستون قائم تروپوسفری نیز می باشند. با بررسی روند تغییرات سالانه ی غلظت ستون قائم وردسپهری نیتروژن دی اکسید و متوسط سالانه ی بارش روی ایران مشاهده می کنیم که غلظت این آلاینده با افزایش جمعیت و فعالیت های انسانی از سال ۲۰۰۵ تا ۲۰۱۶ روند افزایشی و از سال ۲۰۱۶ تا ۲۰۱۸ روند کاهشی داشته است، در مقابل سری زمانی متوسط بارش سالانه روی ایران با شیب $(-0.5978 \text{ mm} * \text{year}^{-1})$ روند کاهشی داشته است.
کلیدواژه ها: نیتروژن دی اکسید، آلودگی هوا، سنجنده ی OMI بارش.	

استناد: غیبی، ابوالحسن؛ سلیمانی، علی؛ و ملکوتی، حسین (۱۴۰۴). بررسی تراز و رفتار زمانی - مکانی غلظت وردسپهری  $NO_2$  با استفاده از سنجنده OMI و تأثیرش بر روی بارش (مطالعه موردی کشور ایران). *تحقیقات کاربردی علوم جغرافیایی*، ۲۵ (۷۶)، ۲۴۸-۲۶۱. <http://dx.doi.org/10.61186/jgs.25.76.19>

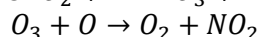
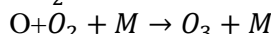
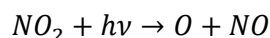


## مقدمه

نیترژن دی‌اکسید ( $NO_2$ ) از مهم‌ترین آلاینده‌های جوی و یکی از عوامل کاهش کیفیت هوا در اکثر مناطق دنیا است. این گاز در بین واکنش‌پذیرترین گروه از گازهای شناخته شده تحت عنوان (اکسیدهای نیترژن) می‌باشد که در وردسپهر موجود بوده و اثرات مخربی بر سلامتی و دید (بینایی) انسان دارد. در صورتی که انسان برای مدت طولانی در معرض این گاز قرار گیرد باعث تنگی نفس و افزایش عفونت‌های تنفسی می‌شود (WHO<sup>1</sup>, 2003). طول عمر  $NO_2$  در وردسپهر بسته به فصل از سال، غلظت OH، دما، رطوبت، شدت تابش و پوشش ابر در یک روز متغیر خواهد بود و عمدتاً در اثر واکنش با رادیکال‌های هیدروکسید از جو حذف می‌شود (مرتضی<sup>۲</sup> و همکاران، ۲۰۱۸). اگرچه غلظت گاز  $NO_2$  در جو کم می‌باشد اما در کیفیت هوای سطح زمین نقش معنی‌داری را بازی می‌کنند، (لینگاسومی<sup>۳</sup> و همکاران، 2017، الانسکی<sup>۴</sup> و همکاران، 2016). نیترژن دی‌اکسید به‌طور طبیعی از فرایندهای بیولوژیکی، شیمیایی و فیزیکی در اقیانوس‌ها و زمین و در دهه‌های اخیر اصولاً توسط فعالیت‌های انسان ساخت نیز تولید می‌شود، (سینفلد و پانديس<sup>۵</sup>، 2008). در تولید ازون وردسپهری ( $O_3$ )، نیتریک اسید ( $HNO_3$ ) و باران اسیدی نیز سهمیم هستند (U.S. EPA, 1998). شواهد نشان می‌دهد که فرار گرفتن گیاهان و سبزی‌ها در معرض  $NO_2$ ، رشدشان را به خطر می‌اندازد. اکسیدهای نیترژن وردسپهری ( $NO_x = NO + NO_2$ ) در ابتدا به شکل نیترژن مونوکسید (NO) گسیل می‌شوند و سپس مطابق واکنش زیر به‌وسیله‌ی فرایندهای اکسیداسیون به  $NO_2$  تبدیل می‌شوند.



متعاقباً  $NO_2$  به‌وسیله‌ی فرایندهای فوتوشیمیایی در طول روز به  $NO$  تبدیل می‌شود (ورنر<sup>۶</sup> و همکاران ۲۰۱۳). این گاز هم به‌طور مستقیم با جذب تابش خورشیدی و هم به‌طور غیرمستقیم (با تشکیل ازون یا تغییر طول عمر گازهای گلخانه‌ای به‌عنوان مثال متان) می‌تواند توازن تابشی جو را تعدیل کند، (شرعی پور و بیدختی، ۱۳۹۳).



به‌طور عمده،  $NO_2$  توسط فعالیت‌های انسان ساخت همچون حمل‌ونقل، صنعت، گرمایش خانگی، نیروگاه‌های انرژی و سایر موارد تولید و اصولاً در محیط‌های شهری به‌وفور یافت می‌شود. بخش اندکی از غلظت جهانی  $NO_2$  به‌وسیله‌ی منابع طبیعی همچون سوختن زیست توده، رعدوبرق و فعالیت‌های میکروبی خاک تولید می‌شود (هیلبل<sup>۷</sup> و همکاران 2013). شرعی پور و بیدختی (۱۳۹۱) غلظت آلاینده‌ی  $NO_2$  را در تهران مورد بررسی قرار دادند و نتیجه گرفتند که در ماه‌های دسامبر و آگوست روند بلندمدت آلاینده‌ی  $NO_2$  برای دوره‌ی ۱۰ ساله ۲۰۰۱ تا ۲۰۱۱ افزایشی بوده است. موارد مصرف  $NO_2$  وردسپهری در واقع واکنش با هیدروکسیدها (OH) است، که منجر به تولید آلاینده‌های ثانویه همچون ( $O_3$ )،  $HNO_3$ ، متان و آلدهیدها می‌شود (کانایا<sup>۸</sup> و همکاران، ۲۰۱۰). افزایش غلظت  $O_3$  در گرمایش جهانی سهمیم است و از طرف دیگر برای سلامت انسان و رشد گیاهان اثرات مضر دارد (هایاشیدا<sup>۹</sup> و همکاران، ۲۰۱۸). تغییرات اقتصادی اجتماعی از شروع انقلاب صنعتی تا به امروز تأثیر مهمی بر روی میزان  $NO_2$  در نواحی مختلف جهان داشته است. همچنین به‌طور هم‌زمان جمعیت جهان رو به افزایش است و تراکم جمعیت در شهرها و کلان‌شهرها منجر به گسترش مناطق شامل غلظت‌های بالای  $NO_2$  می‌شود که می‌توان این مناطق را از فضا پردازش کرد (اسچنیدر<sup>۱۰</sup> و همکاران، ۲۰۱۵). شواهد نشان می‌دهند که تغییرپذیری

<sup>1</sup> World Health Organization

<sup>2</sup> Murtaza

<sup>3</sup> Lingaswamy

<sup>4</sup> Elansky

<sup>5</sup> Seinfeld and Pandis

<sup>6</sup> Werner

<sup>7</sup> Hilboll

<sup>8</sup> Kanaya

<sup>9</sup> Hayashida

<sup>10</sup> Schneider

در مقدار ستون قائم وردسپهری  $NO_2$  اکثراً به شرایط اقلیمی، تغییرات فصول، الگوهای مختلف استفاده از سوخت‌ها و سیاست‌های اقتصادی اجتماعی مربوط است (ژو<sup>۱۱</sup> و همکاران، ۲۰۱۲). بعد از چین و هند، ایران و پاکستان آلوده‌ترین کشورها در منطقه جنوب و شرق آسیا می‌باشند (WHO, 2016). ایران در گروه کشورهای در حال توسعه قرار دارد و در فرایند صنعتی شدن و بهینه‌سازی تکنولوژی با مشکلات زیادی همچون بحران انرژی روبرو است که به‌طور محلی منجر به افزایش شدید گسیل  $NO_2$  می‌شود. بنابراین مطالعات گسترده‌ی از نظر مکانی و زمانی از روند تغییرات  $NO_2$  وردسپهری در جای‌جای کشور لازم است تا در جهت کاهش گسیل  $NO_2$  سیاست‌ها و تصمیمات مؤثر اتخاذ شود. غلظت ستون قائم  $NO_2$  متأثر از گسیل منطقه‌ای، نقل و انتقالات ورودی و خروجی به ستون قائم، تولیدات و واپاشی‌های شیمیایی محلی و انواع دیگر واپاشی‌ها می‌باشد. از این‌رو انتظار می‌رود که در هر منطقه غلظت‌های ستون‌های قائم  $NO_2$  با مقدار نشر  $NO_2$ ، میزان باد، رطوبت نسبی و پارامترهای هواشناسی دیگر نظیر بارش، که طول عمر فوتوشیمیایی  $NO_2$  و موقعیت سطحی آن را تحت تأثیر قرار می‌دهند، تغییر کند (ژو و همکاران ۲۰۱۲).

### روش‌شناسی

در این مطالعه از داده‌های ماهواره‌ای غلظت ستون قائم وردسپهری ( $NO_2$  VCD<sup>12</sup>) توسط ابزار پایش ازن (OMI) استفاده شده است. این سنجنده که بر روی ماهواره زمین آهنگ AURA نصب شده است، تابش بازپراکنده‌ی خورشید را در محدوده‌ی طیفی (۵۰۰-۲۷۰) نانومتر اندازه می‌گیرد و دارای تفکیک طیفی ۰.۵ نانومتر است. این داده‌ها به‌طور کلی برآوردی از تعداد مولکول‌های  $NO_2$  در یک ستون قائم جو از سطح زمین تا قله وردسپهر، (حدود ۲۰۰ hpa، برحسب  $molec/cm^2$ ) به دست می‌دهند (<http://www.temis.nl/airpollution/no2.html>). در این مطالعه داده‌های ماهانه ماهواره‌ای این سنجنده با تفکیک مکانی  $0.125 \times 0.125$  درجه برای یک دوره‌ی ۱۴ ساله از ۲۰۰۵ تا ۲۰۱۸ استفاده شده است. داده‌های مشاهداتی زمین مینا مربوط به گسیل  $NO_x$  در منطقه مورد مطالعه از داده‌های مرکز EDGAR<sup>13</sup>، که از سال ۱۹۷۰ تا حداکثر سال ۲۰۱۲ این مجموعه داده‌ها را جمع‌آوری نموده، اخذ شده است. داده‌های زمین مینای بارش نیز از سازمان هواشناسی کل کشور تهیه شده است.

### ماهواره AURA و سنجنده‌ی OMI

Aura یک ماهواره با مدار خورشید هم‌زمان می‌باشد. این ماهواره که در ۱۵ جولای سال ۲۰۰۴ به فضا پرتاب شد، در ارتفاع ۷۰۵ کیلومتری از تراز میانگین سطح دریا قرار دارد و زمان عبور آن از استوا در ساعت ۱۳:۴۵ بوقت محلی می‌باشد. (OMI Data User's Guide, 2012). هدف این ماهواره مشاهده و مطالعه کیفیت هوای وردسپهر، اوزون پوشش‌سپهری و تغییرات اقلیم می‌باشد. سنجنده‌ی دیدبانی اوزون (OMI) که بر روی این ماهواره نصب شده یک طیف نگار می‌باشد که با استفاده از باند فرابنفش و مرئی تصویربرداری را انجام می‌دهد و مشاهده‌ی کلی از گازهای آلاینده‌ی مهم جوی مثل  $NO_2$ ،  $SO_2$  و  $O_3$  را از سال ۲۰۰۴ فراهم کرده است. این ابزار سنجش دارای تفکیک مکانی (۲۴\*۱۳) کیلومتر به ترتیب (مداری\* نصف‌النهاری)، تفکیک طیفی ۰.۵ نانومتر و تفکیک زمانی روزانه می‌باشد به‌طوری‌که کل زمین را در یک روز پوشش می‌دهد. تفکیک مکانی داده‌های این سنجنده دارای پوشش مکانی و زمانی پایداری بوده و امکان بازیابی و مطالعه غلظت‌های گسیل طبیعی و گسیل مربوط به فعالیت‌های انسانی را در مقیاس‌های جهانی و منطقه‌ای فراهم می‌کند. داده‌های میانگین ماهانه‌ی زمین مینای غلظت ستون قائم تروپوسفری  $NO_2$  از آژانس فضایی اروپایی شبکه‌ی کنترل نشر تروپوسفری اخذ شده‌اند. تفکیک مکانی داده‌های غلظت ستون تروپوسفری  $0.125 \times 0.125$  درجه می‌باشد. مقادیر نامعتبر (صفر و مقادیر منفی) از داده‌های اصلی حذف شده‌اند و داده‌های شبکه با استفاده از روش درون‌یابی معکوس وزن فاصله به تفکیک مکانی  $0.1 \times 0.1$  درجه تغییر داده شده‌اند.

<sup>11</sup> Zhou

<sup>12</sup> Vertical Column Density

<sup>13</sup> Emmission Database for Global Atmospheric Research

محاسبه نقشه‌های بارش و  $NO_2$ 

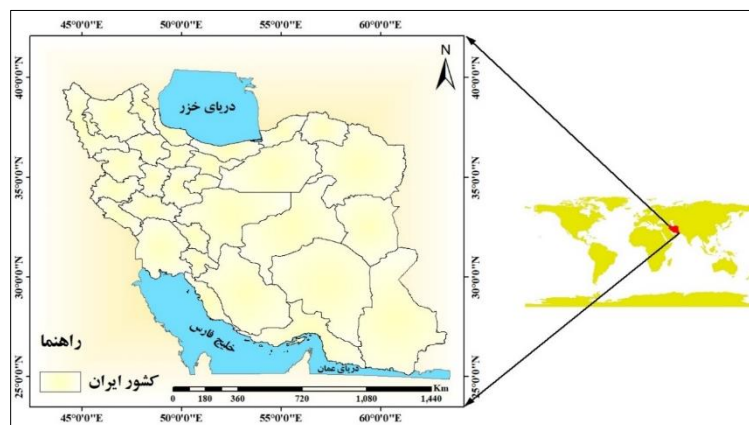
بعد از اخذ داده‌های اقلیمی بارندگی با استفاده از روش درون‌یابی معکوس وزنی فاصله<sup>۱۴</sup> نقشه‌های بارش و  $NO_2$  تهیه شدند. روش درون‌یابی معکوس وزنی فاصله با وزن‌دهی به داده‌های اطراف نقطه مورد برآورد، کمیت مجهول به دست می‌آید. در این روش فرض می‌شود که نقاط نزدیک به یکدیگر، نسبت به نقاط دورتر، شباهت بیشتری داشته و لذا بر طبق این روش نقاط نزدیک‌تر وزن بیشتری دارند. رابطه فاصله وزنی معکوس با استفاده از رابطه (۱) محاسبه می‌شود:

$$Z = \frac{\sum_{i=1}^N \frac{Z_i}{d_i^m}}{\sum_{i=1}^N \frac{1}{d_i^m}} \quad \text{رابطه (۱)}$$

که در این رابطه  $Z$  ارزش برآوردی از روش درون‌یابی،  $Z_i$  مقادیر نمونه،  $d_i$  فاصله اقلیدسی هر مکان تا نمونه،  $m$  عامل توان و  $N$  تعداد نقاط نمونه است.

## موقعیت منطقه مورد مطالعه

شکل (۱) موقعیت جغرافیایی منطقه مورد مطالعه، یعنی کشور ایران را نشان می‌دهد. کشور پهناور ایران در جنوب غرب آسیا یکی از مناطق نیمکره شمالی است که به سبب برخی عوامل از جمله شرایط اقلیمی متفاوت، وجود کوه‌های مرتفع حصار مانند در اطراف، وجود کویر بزرگ مرکزی و با وسعتی بیش از ۱۶۴۰۰۰۰ کیلومترمربع، نوعی ویژگی و تنوع زیستی در هر گوشه و کنار خود دارد. بخش بزرگی از این سرزمین را نواحی بیابانی، نیمه بیابانی و کویری تشکیل می‌دهد.



شکل (۱). موقعیت جغرافیایی محدوده مورد مطالعه

## روش انجام پژوهش

برای محاسبه روند تغییرات ماهانه و فصلی  $NO_2$  و بارش در منطقه مورد مطالعه از آزمون روندیابی من-کندال و شیب تخمین‌گر سن استفاده شده است. آماره‌های این آزمون با استفاده از روابط (۲ تا ۵) به دست می‌آیند.

$$S = \sum_{i=1}^{N-1} \sum_{j=i+1}^N \text{sgn}(x_j - x_i) \quad \text{رابطه (۲)}$$

که  $S$  آماره آزمون من-کندال  $x_i$  مقدار داده  $i$ ام،  $x_j$  مقدار داده  $j$ ام،  $n$  تعداد داده‌ها و  $\text{sgn}(x_j - x_i)$  تابع علامت می‌باشد که با استفاده از رابطه (۳) به دست می‌آید.

<sup>14</sup>Inverse Distance Weighting (IDW)

$$\text{sgn}(x_j - x_i) = \begin{cases} +1, & \text{if}(x_j - x_i) > 0 \\ 0, & \text{if}(x_j - x_i) = 0 \\ -1, & \text{if}(x_j - x_i) < 0 \end{cases} \quad \text{رابطه (۳)}$$

واریانس آماره من‌کندال با استفاده از رابطه (۴) به دست می‌آید.

$$\text{Var}(S) = \frac{1}{18} \left[ N(N-1)(2N+5) - \sum_{i=1}^m t_i(t_i-1)(2t_i+5) \right] \quad \text{رابطه (۴)}$$

که در آن  $N$  تعداد داده‌های مشاهده‌ای،  $m$  تعداد دنباله‌ها،  $t_i$  تعداد دنباله‌ها برای  $i$  امین مقدار و  $t$  تعداد مقادیر دنباله‌ها است. جزء دوم در رابطه فوق یک تعدیل برای دنباله‌ها یا داده‌های حساس است. آماره استاندارد شده آزمون  $Z$  از رابطه (۵) به دست می‌آید.

$$Z = \begin{cases} (S-1)/\sqrt{\text{Var}(S)}, & \text{if } S > 0 \\ 0, & \text{if } S = 0 \\ (S+1)/\sqrt{\text{Var}(S)}, & \text{if } S < 0 \end{cases} \quad \text{رابطه (۵)}$$

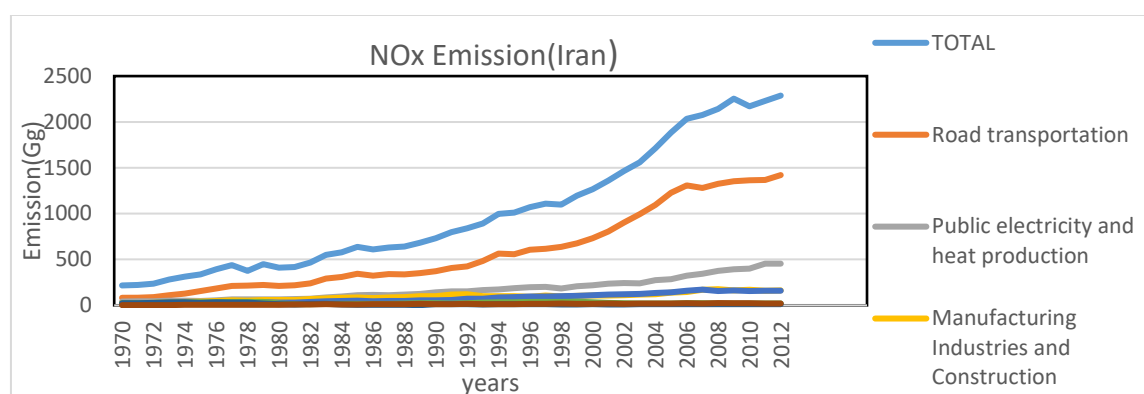
مقدار مثبت  $Z$  روند افزایش و مقدار منفی  $Z$  روند کاهشی سری زمانی را نشان می‌دهد. همچنین برای آزمون روند افزایش یا کاهش یکنواخت در سطح معنی‌داری  $p$ ، اگر مقدار  $Z$  بزرگ‌تر از  $Z_{1-p/2}$  باشد (که  $Z_{1-p/2}$  از جدول توزیع تجمعی نرمال استاندارد به دست می‌آید) فرض صفر رد می‌شود. برای این کار، سطح معنی‌دار  $p=0.05$  به کار می‌رود، که حالت استاندارد  $Z$  در این مطالعه  $1/96$  در نظر گرفته شده است. برای تأیید درستی و صحت تغییرات روند از شیب تخمین‌گر سن استفاده شد؛ که از طریق رابطه (۶) به دست می‌آید.

$$\beta = \text{Median} \left[ \frac{X_i - X_j}{i - j} \right] (\forall j > i) \quad \text{رابطه (۶)}$$

که در آن  $\beta$  برآوردگر شیب خط روند،  $X_i$  و  $X_j$  به ترتیب مقادیر مشاهداتی  $i$ ام و  $j$ ام می‌باشند که  $i$  و  $j$  نشانگر شمارنده سال است. مقادیر مثبت آن نشان دهنده روند افزایشی و مقادیر منفی آن نشان دهنده روند کاهشی است (القورشی و کومار، ۲۰۰۲).

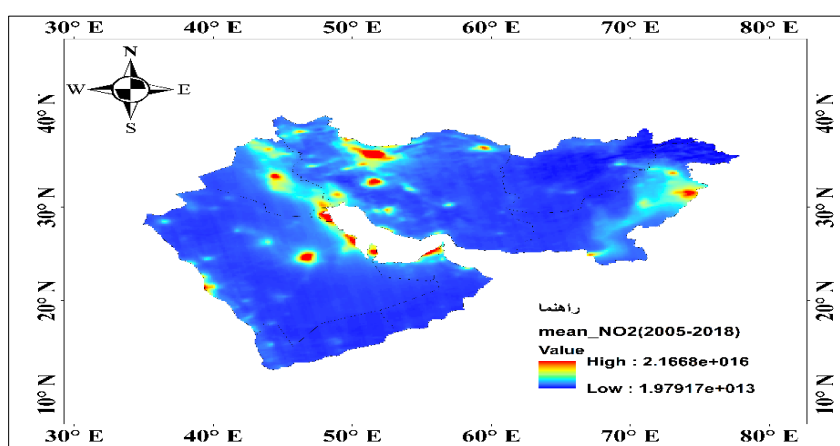
### نتایج و بحث

داده‌های مربوط به گسیل  $NO_x$  از منابع مصنوعی و طبیعی منطقه مورد مطالعه (کشور ایران) از مرکز تحقیقاتی اروپایی EDGAR برای سال‌های ۱۹۷۰ تا ۲۰۱۲ اخذ گردید. سری زمانی این داده در شکل (۲) رسم شده است. با مشاهده شکل (۲) در می‌یابیم که گسیل  $NO_x$  روی ایران در طی این سال‌ها روند صعودی تندی داشته که اصلی‌ترین منابع آن به ترتیب نقل و انتقالات جاده‌ای، منابع تولید گرما و الکتریسیته، بخش‌های مسکونی، صنایع تولید انرژی، منابع نفت و گاز و گسیل مستقیم از خاک می‌باشند. همان‌طور که در نمودار مشاهده می‌شود از سال ۱۹۷۰ تا سال ۲۰۰۰ گسیل  $NO_x$  با سرعت کمتری ( $\frac{Gg}{year}$  ۳۵) رو به افزایش بوده اما این روند از سال ۲۰۰۰ به بعد، همراه با افزایش فعالیت‌های صنعتی و راه‌اندازی مراکز صنعتی جدید بخصوص در زمینه نفت و گاز (از جمله عسلویه) با شیب تندتری ( $\frac{Gg}{year}$  ۸۵) در حال افزایش است، که اهمیت و ضرورت بررسی منابع و راهکارهای مناسب برای کاهش گسیل این آلاینده‌ها را ضروری می‌نماید.



شکل (۲). سری زمانی سالانه منابع گسیل  $NO_x$  روی ایران از سال ۱۹۷۰ - ۲۰۱۲

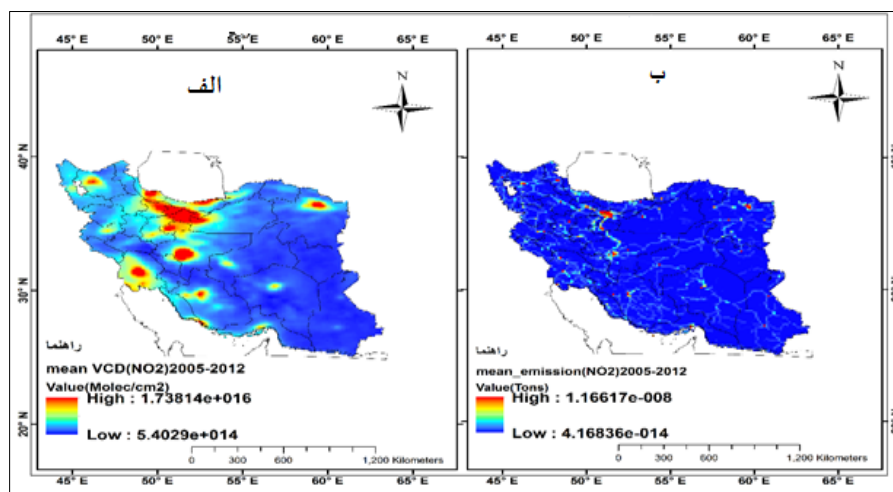
شکل (۳) میانگین غلظت ستون قائم وردسپهری دی اکسید نیتروژن را در بازه‌ی زمانی بین سال‌های ۲۰۰۵ تا ۲۰۱۸ توسط سنجنده‌ی OMI برای منطقه‌ی ایران نشان می‌دهد. همان‌طور که مشاهده می‌شود بیشترین غلظت نیتروژن دی اکسید در حدود  $3.07 \times 10^{+16}$  مولکول بر سانتی‌متر مربع از مقطع ستون هوای وردسپهری مربوط به کلان‌شهرها به‌ویژه تهران است که به دلیل جمعیت زیاد و متعاقب آن بیشترین نقل و انتقالات جاده‌ای را در بین کلان‌شهرهای کشور دارد. شهرهای اصفهان، کرج، مشهد، اهواز و شیراز نیز به دلیل جمعیت زیاد و افزایش روند فعالیت‌های صنعتی در حومه‌ی این شهرها منجر به افزایش تولید غلظت نیتروژن دی اکسید در این مناطق شده است. افزایش فعالیت‌های صنعتی در زمینه استخراج معادن بخصوص در بخش مرکزی کشور نیز تا حدودی منجر به افزایش گسیل این آلاینده‌ها شده است. به‌عنوان مثال، در اطراف شهر کرمان، منطقه‌ای که با رنگ زرد و آبی روشن مشخص شده مربوط به منطقه صنعتی مس سرچشمه می‌باشد که به دلیل مسائل مربوط به استخراج و حمل‌ونقل در این معادن باعث افزایش تولید نیتروژن دی اکسید گردیده است. همان‌طور که در شکل ۲ مشاهده می‌شود بیشترین غلظت متوسط این گاز در سال‌های (۲۰۱۸-۲۰۰۵) در ۱۴ سال اخیر به کشورهای حوزه خلیج فارس از جمله عربستان با غلظت  $1.19 \times 10^{+16}$ ، عراق با غلظت  $9.11 \times 10^{+15}$ ، افغانستان با غلظت  $1.89 \times 10^{+15}$  و قطر با غلظت  $7.93 \times 10^{+15}$  (مولکول بر سانتیمتر مربع) می‌باشد که به دلیل جهت وزش باد غالب در کشور می‌تواند یکی از عوامل افزایش غلظت زیاد این گاز در کشور ایران باشد.



شکل (۳). میانگین غلظت ستون قائم وردسپهری دی اکسید نیتروژن در بازه‌ی زمانی بین سال‌های ۲۰۰۵ تا ۲۰۱۸

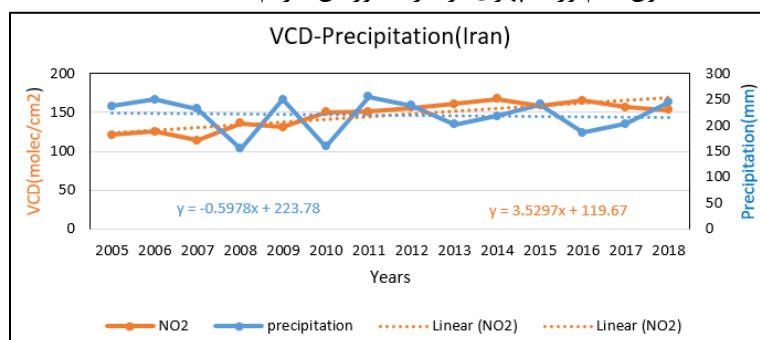
با بررسی داده‌های مربوط به گسیل  $NO_x$  از مرکز تحقیقاتی اروپایی EDGAR و مقایسه با داده‌های ماهواره‌ای ستون قائم وردسپهری  $NO_2$  مشاهده می‌شود که سازگاری خوبی بین این داده‌ها وجود دارد. چون داده‌های مربوط به گسیل  $NO_x$

حداکثر تا سال ۲۰۱۲ موجود است مقایسه بین داده‌های ستون قائم و ردسپهری  $NO_2$  و داده‌های گسیل  $NO_x$  بین سال‌های ۲۰۰۵ تا ۲۰۱۲ انجام شده است شکل (۴).

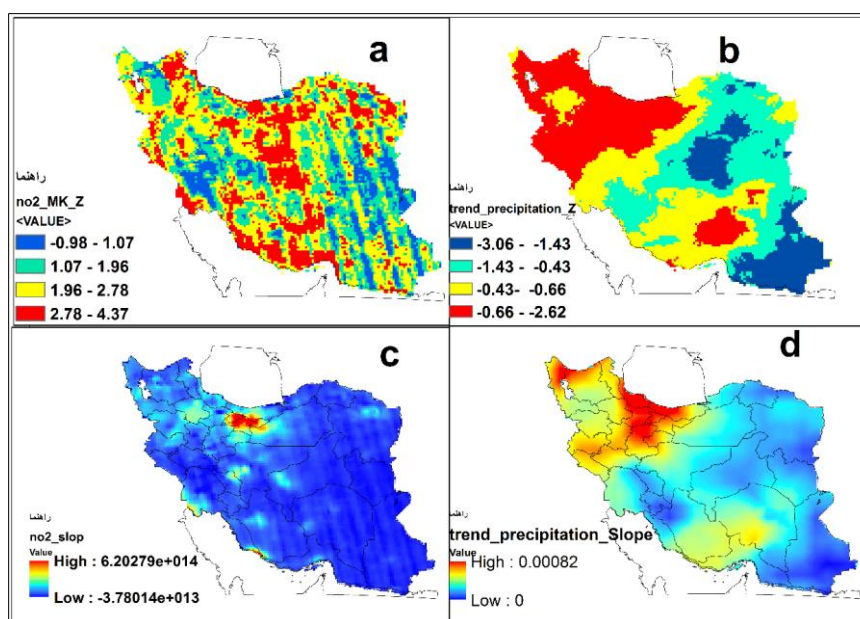


شکل (۴). الف) ستون قائم و ردسپهری نیتروژن دی‌اکسید بر حسب مولکول بر سانتی‌متر مربع (ب) گسیل  $NO_x$  بر حسب تن برای سال‌های ۲۰۰۵-۲۰۱۲

در شکل (۴ الف) غلظت ستون قائم و ردسپهری نیتروژن دی‌اکسید بر حسب مولکول در سانتی‌متر مربع و شکل (۴ ب) میزان گسیل  $NO_x$  بر حسب تن را در بازه زمانی ۲۰۰۵-۲۰۱۲ نشان می‌دهند. از شکل (۴) مشاهده می‌شود که بین نقاط دارای بیشترین میزان گسیل و بیشترین مقدار غلظت ستون قائم و ردسپهری نیتروژن دی‌اکسید سازگاری خوبی وجود دارد. با بررسی روند تغییرات سالانه‌ی غلظت ستون قائم و ردسپهری نیتروژن دی‌اکسید و متوسط سالانه‌ی بارش بر روی کشور ایران در شکل (۵) مشاهده می‌شود که غلظت این آلاینده از سال ۲۰۰۵ تا ۲۰۱۶ با افزایش جمعیت و فعالیت‌های انسانی روند افزایشی و از سال ۲۰۱۶ تا ۲۰۱۸ با توجه به رشد جمعیت روند کاهشی داشته است. اما در مجموع با شیب  $(+3/52(\text{molecule} \cdot \text{cm}^{-2}) * 10^{13} \cdot \text{year}^{-1})$  روند افزایشی داشته، و در مقابل سری زمانی متوسط بارش سالانه روی ایران با شیب  $(-0/59\text{mm} \cdot \text{year}^{-1})$  روند کاهشی داشته است. از مقایسه روند این دو پارامتر مشاهده می‌شود که بر روی یکدیگر تأثیر منفی دارند. به‌عنوان مثال در سال ۲۰۱۶ که غلظت نیتروژن دی‌اکسید نسبت به سال‌های قبل و بعد از آن، یعنی ۲۰۱۵ و ۲۰۱۷ بیشتر بوده، میزان بارش در سال ۲۰۱۶ نسبت به سال‌های قبل و بعد از آن کمتر بوده است، همچنین در سال‌های ۲۰۱۵، ۲۰۱۱، ۲۰۱۰، ۲۰۰۹ و ۲۰۰۸ هم این رابطه معکوس بین غلظت آلاینده و بارش مشاهده می‌شود که دلیل آن می‌تواند انحلال آلاینده‌ها درون و زیر ابر توسط بارش باشد که باعث ایجاد هوای پاک در منطقه می‌شود. با توجه به شیب خط مشاهده می‌شود به‌طور متوسط سالانه حدود  $-0/04$  میلی‌متر کاهش بارندگی و حدود  $10^{13} * 0/25$  مولکول بر سانتی‌متر مربع افزایش غلظت ستون قائم و ردسپهری را در کشورمان داریم.



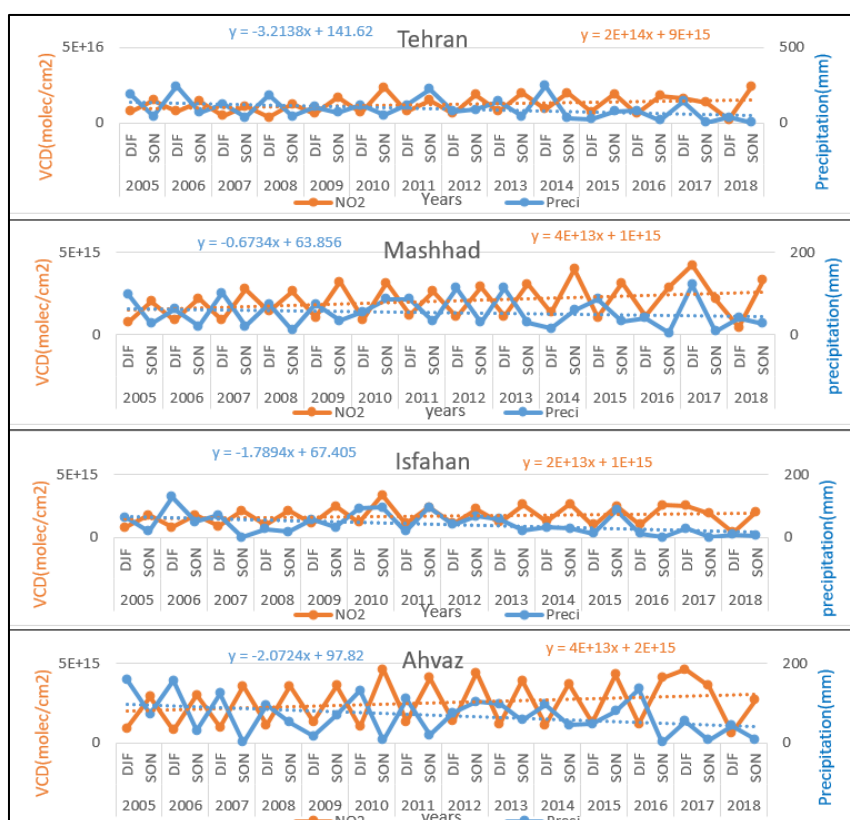
شکل (۵). سری زمانی میانگین غلظت نیتروژن دی‌اکسید و متوسط بارش سالانه روی ایران از سال ۲۰۰۵ تا ۲۰۱۸



شکل (۶). روند تغییرات ۱۴ ساله (a) غلظت نیتروژن دی اکسید و (b) بارش سالانه روی ایران با استفاده از روش آماری من-کندال Z. شیب تخمین گر سن (c) برای نیتروژن دی اکسید و (d) بارش بر روی ایران برای سال های ۲۰۰۵-۲۰۱۸

شکل (۶ a و b) روند تغییرات ۱۴ ساله غلظت نیتروژن دی اکسید و بارش را با استفاده از روش آماری من-کندال Z نشان می دهد. قسمت های قرمز رنگ افزایش معنی دار و قسمت های آبی رنگ کاهش معنی دار این دو کمیت را در طی این ۱۴ سال نشان می دهند. چون مقادیر Z بالاتر از ۱.۹۶ و کمتر از -۱.۹۶ سطح معنی داری را نشان می دهد رنگ های آبی روشن و زرد، کاهش و افزایشی را نشان می دهند که معنی دار نیستند. همان طور که در شکل (۶ a) مشاهده می شود در شهرهای صنعتی مثل اصفهان، یزد، اراک و جنوب تهران و شهرهای نوار ساحلی در جنوب، به علت وجود پالایشگاه ها و دیگر تأسیسات مربوط به صنعت نفت، روند افزایشی معنی داری را در غلظت نیتروژن دی اکسید نشان می دهند. همچنین در شکل (۶ b) که آزمون آماری Z را برای بارش نشان می دهد، در نواحی شمال غرب کشور افزایش معنی دار و برای قسمت های شرق و جنوب شرق کشور کاهش معنی داری در میزان بارش مشاهده می شود. اشکال (۶ c و d) شیب تخمین گر سن را برای نیتروژن دی اکسید و بارش نشان می دهند. همان طور که ملاحظه می شود در شکل (۶ c) استان تهران دارای بیشترین شیب افزایشی سالانه در حدود  $6.20 \times 10^{14}$  مولکول بر سانتی متر مربع نیتروژن دی اکسید می باشد و در شکل d مناطق شمالی که با رنگ قرمز نشان داده شده دارای بیشترین شیب در افزایش بارش را نشان می دهند.

به علت این که در مقیاس های بزرگ مقایسه بارش و غلظت ستون قائم  $NO_2$  ممکن است با خطا مواجه شود، برای بررسی بهتر تأثیر این عوامل بر یکدیگر ۴ کلان شهر تهران، اصفهان، مشهد و اهواز را که دارای غلظت بالای آلودگی ناشی از نیتروژن دی اکسید هستند را انتخاب کرده و به صورت فصلی مورد بررسی قرار داده ایم. با توجه به این که تعداد روزها با غلظت بالای آلودگی ناشی از  $NO_2$  در فصل پاییز و زمستان نسبت به دیگر فصول بیشتر است این دو فصل را مورد بررسی قرار گرفته اند که رفتار آن ها در شکل (۷) ارائه شده است.



شکل (۷). سری زمانی بارش و غلظت ستون قائم وردسپهری برای کلان شهرهای تهران، مشهد، اصفهان و اهواز (۲۰۰۵-۲۰۱۸)

همان طور که در تمامی نمودارهای مربوط به این چهار شهر مشاهده می شود در بازه زمانی (۲۰۰۵-۲۰۱۸) متوسط بارش سالانه این شهرها با یک شیب منفی رو به کاهش است و متوسط غلظت ستون قائم وردسپهری با یک شیب مثبت رو به افزایش می باشد. شهر تهران دارای بیشترین شیب کاهشی بارش ( $-۳/۲۱$ ) و شهر مشهد دارای کمترین شیب کاهشی بارش ( $-۰/۶۷ \frac{mm}{year}$ ) در بازه زمانی موردنظر را دارا می باشد. در مقابل روند سالانه غلظت ستون قائم وردسپهری این شهرها در این بازه افزایشی بوده و دارای شیب مثبت است که شهر تهران دارای بیشترین شیب مثبت ( $10^{+14} \text{ molecule} \cdot \text{cm}^{-2}$ )<sup>۲</sup> و شهر اصفهان دارای کمترین شیب مثبت ( $10^{+13} \text{ molecule} \cdot \text{cm}^{-2}$ ) می باشند. با توجه به نمودارهایی که تاکنون توضیح داده شد در اکثر سالها شدت بارش در فصل زمستان نسبت به پاییز بیشتر می باشد ولی در مقابل غلظت نیتروژن دی اکسید در فصل پاییز مقدار بیشتری را نسبت به فصل زمستان دارد که علت آن می تواند نهشت رطوبت یا به عبارتی شسته شدن آلاینده ها توسط بارش باشد که باعث رقیق شدن جو از آلاینده ها به خصوص  $NO_2$  می شود.

جدول (۱). شیب و مقدار همبستگی بین متغیرها ( $R^2$ ) برای چهار کلان شهر مورد مطالعه

NO2 (Ahvaz)	NO2 (Isfahan)	NO2 (Mashhad)	NO2 (Tehran)	Precipitation
$Y = -2E+13X + 4E+15$	$Y = -1E+11X + 2E+15$	$Y = -9E+12X + 3E+15$	$Y = -4E+13X + 2E+16$	
$R^2 = 0.33$	$R^2 = 3E - 05$	$R^2 = 0.09$	$R^2 = 0.17$	

### نتیجه گیری

در مطالعه حاضر با بررسی داده های مربوط به گسیل  $NO_x$  و منابع آن در کشور ایران از مرکز تحقیقاتی اروپایی EDGAR برای سال های ۱۹۷۰ تا ۲۰۱۲ و تحلیل اولیه سری زمانی این اطلاعات مشاهده گردید که گسیل  $NO_x$  روی ایران در طی

این سال‌ها سیر صعودی نسبتاً شدیدی داشته و اصلی‌ترین منابع آن به ترتیب نقل و انتقالات جاده‌ای، منابع تولید گرما و الکتریسیته، بخش‌های مسکونی، صنایع تولید انرژی، تأسیسات نفت و گاز و گسیل مستقیم از خاک می‌باشد. تحلیل میانگین غلظت ستون قائم وردسپهری  $NO_2$  در بازه‌ی زمانی بین سال‌های ۲۰۰۵ تا ۲۰۱۸ توسط سنجنده‌ی OMI روی ایران نشان داد که بیشترین غلظت  $NO_2$  در کلان‌شهرها به‌ویژه کلان‌شهر تهران می‌باشد در حدود  $3.07 \times 10^{+16}$  مولکول بر سانتی‌متر مربع از مقطع ستون هوای وردسپهری که بیشترین جمعیت و به دنبال آن بیشترین نقل و انتقالات جاده‌ای را در بین کلان‌شهرها دارا می‌باشد و بعد از آن اصفهان، کرج، مشهد، اهواز و شیراز به دلیل جمعیت بالا و صنعتی بودن دارای غلظت بالای نیتروژن دی‌اکسید می‌باشند. به دلیل در دسترس نبودن داده‌های مربوط به گسیل از سال ۲۰۱۳ تا ۲۰۱۸ مقایسه بین داده‌های مربوط به گسیل  $NO_x$  و داده‌های غلظت قائم  $NO_2$  بین سال‌های ۲۰۰۵ تا ۲۰۱۲ مورد بررسی قرار گرفت که یک همبستگی مثبتی بین این اطلاعات مشاهده گردید و نشان داد شهرهایی با بیشترین مقدار گسیل  $NO_x$  در ستون قائم نیز دارای بیشترین غلظت  $NO_2$  می‌باشند. از آنجایی که پدیده‌های هواشناسی همچون دما، بارش، رطوبت نسبی، میزان باد و ساختار لایه‌مرزی بر روی غلظت آلاینده‌ها تأثیرگذار هستند در این مقاله تأثیر بارش که از اهمیت بالایی برخوردار است را بر روی آلاینده‌ها مورد بررسی قرار داده‌ایم. با رسم سری زمانی سالانه‌ی غلظت  $NO_2$  و مجموع بارش مشاهده می‌شود که در اکثر موارد رابطه معکوسی بین این دو پارامتر وجود دارد به طوری که بارش در طی این سال‌ها با یک شیب  $(-\frac{59}{100} \frac{mm}{year})$  در حال کاهش و غلظت ستون قائم با شیب  $(\frac{3}{5} \text{ molecule} \cdot \text{cm}^{-2}) \cdot 10^{13} \cdot \text{year}^{-1}$  در حال افزایش می‌باشد به‌عنوان مثال در سال ۲۰۱۶ که غلظت نیتروژن دی‌اکسید نسبت به سال‌های ۲۰۱۵ و ۲۰۱۷ بیشتر بوده، میزان بارش در سال ۲۰۱۶ نسبت به سال‌های قبل و بعد کمتر بوده است. همچنین در سال ۲۰۱۵، ۲۰۱۱، ۲۰۱۰، ۲۰۰۹ و ۲۰۰۸ هم این رابطه معکوس بین غلظت آلاینده و بارش مشاهده می‌شود که دلیل آن در واقع شویس آلاینده‌ها توسط بارش می‌باشد که باعث ایجاد هوای پاک در منطقه می‌شود. در مقایسه فصلی (پاییز و زمستان) این دو عامل (غلظت نیتروژن دی‌اکسید و مجموع بارش) نیز این رابطه معکوس مشاهده می‌شود برای بررسی دقیق‌تر تأثیر این عوامل بر یکدیگر، چهار کلان‌شهر تهران، مشهد، اصفهان و اهواز را به‌طور جداگانه مورد بررسی قرار دادیم که در همه این شهرها غلظت ستون قائم وردسپهری  $NO_2$  با یک شیب مثبت رو به افزایش و متوسط سالانه بارش با یک شیب منفی رو به کاهش بود. به طوری که در اکثر سال‌ها شدت بارش در فصل زمستان نسبت به پاییز بیشتر می‌باشد ولی در مقابل غلظت نیتروژن دی‌اکسید در فصل پاییز مقدار بیشتری را نسبت به فصل زمستان دارد که علت آن می‌تواند نهشت رطوبت یا به عبارتی شسته شدن آلاینده‌ها توسط بارش باشد که باعث رقیق شدن جو از آلاینده‌ها به‌خصوص  $NO_2$  می‌شود.

## منابع

- khoshakhlagh, F. (2008). Study of the effects of North Atlantic oscillation on precipitation regime and temperature of the southern shores of the Caspian Sea. *Natural Geography Research*. 66.(in Persian).
- SHareipour, z., Aliakbari Bidokhti, A.( 2012). Investigating the trend of long-term changes in air pollution and meteorological factors affecting it in Tehran (during a period of 10 years). *National Conference on Air Flow and Pollution*. (in Persian).
- SHareipour, z., Aliakbari Bidokhti, A. (2013). Investigation of the status of Tropospheric  $NO_2$  in Iran during the years 2004 to (2012). *Journal of Ecology*. 65-78. (in Persian).
- SHareipour, z., Aliakbari Bidokhti, A. (2014). Investigation of temporal spatial distribution of air pollutants in Tehran for the cold months of 2013-2011. (in Persian).
- TolabiNezhad, M. (2015)., Effects of North Atlantic Fluctuation on Atmospheric Anomaly of Iran's Atmospheric Level (Case Study: Western Iran). *Journal of Applied Research in Geographical Sciences*, Year 18, Issue 94, Summer 94. (in Persian).
- Abbasi, F., Babaeian, A. (2019). Analysis of the trend of average annual temperature and precipitation in Iran in the period 1988 to 2017. *Newar*, Volume 43, Number 107-106. (in Persian).

- Mashhadizadeh Maleki, S., Bayat, A. (2016). Time series spectral analysis of nitrogen dioxide in Tehran by measuring OMI sensor. Fifth National Conference on Air and Noise Pollution Management, Razi International Conference Center. (in Persian).
- Aristeidis, K., Georgoulias, I., Ronald, J., van der A., Piet Stammes, K., Folkert Boersma Hek, J., Eskes, G. (2018). Trends and trend reversal detection in two decades of tropospheric  $NO_2$  satellite observations. *Atmos. Chem. Phys. Discuss.* <https://doi.org/10.5194/acp-2018-988>.
- Caiwang Zheng, Chuanfeng Zhao, Yanping Li, Xiaolin Wu, Kaiyang Zhang, Jing Gao, Qi Qiao, Yuanzhe Ren, Xi Zhang, Fahe Chai, (2018), Spatial and temporal distribution of  $NO_2$  and  $SO_2$  in Inner Mongolia urban agglomeration obtained from satellite remote sensing and ground observations, *Atmospheric Environment* 188 (2018) 50–59.
- Hayashida, S., Kajini, M., Deushi, M., Thomas, T. (2018). Seasonality of the lower tropospheric ozone over China observed by the Ozone Monitoring Instrument.
- Hilboll, A., Richter, A. and Burrows, J.P.: Long-term changes of tropospheric  $NO_2$  over megacities derived from multiple satellite instruments, *Atmos. Chem. Phys.*, 13, 4145–4169, <https://doi.org/10.5194/acp-13-4145-2013>, 2013.
- John, H., Seinfeld, J., Pandis, N. (2016). *Atmospheric Chemistry and Physics: From Air Pollution to Climate Change*.
- Kanaya, Y., Irie, H., Takashima, H., Iwabuchi, H., Akimoto, H., Sudo, K., Gu, M., Chong, J., Kim, Y. J., Lee, H., Li, A., Si, F., Xu, J., Xie, P.-H., Liu, W.-Q., Dzhola, A., Postylyakov, O., Ivanov, V., Grechko, E., Terpugova, S., and Panchenko, M. (2014). Long-term MAX-DOAS network observations of  $NO_2$  in Russia and Asia (MADRAS) during the period 2007–2012: instrumentation, elucidation of climatology, and comparisons with OMI satellite observations and global model simulations, *Atmos. Chem. Phys.*, 14, 7909–7927, <https://doi.org/10.5194/acp-14-7909-2014>, 2014.
- Lingaswamy, A.P., Arafath, S.M., Balakrishnaiah, G., Rama Gopal, K., Siva Kumar Reddy, N., Raja Obul Reddy, K., Chakradhar Rao, T. Observations of trace gases, photolysis rate coefficients and model simulations over semi-arid region, India *Atmos. Environ.*, 158 (2017), pp. 246–258, [10.1016/j.atmosenv.2017.03.048](https://doi.org/10.1016/j.atmosenv.2017.03.048).
- Ponomarev, N.; Yushkov, V.; Elansky, N. Air Pollution in Moscow Megacity: Data Fusion of the Chemical Transport Model and Observational Network. *Atmosphere* 2021, 12, 374. <https://doi.org/10.3390/atmos12030374>.
- Rabbia Murtaza, Muhammad Fahim Khokhar, Asma Noreen, Salman Atif, Khalid Rehman Hakeem, (2018). Multi-sensor temporal assessment of tropospheric nitrogen dioxide column densities over Pakistan, *Environmental Science and Pollution Research* <https://doi.org/10.1007/s11356-017-1176-7>.
- Seinfeld, J. and Pandis, H. (2008). *Atmospheric Chemistry and Physics (2006): From Air Pollution to Climate Change*. 2nd Edn. 2006. John Wiley & Sons, Hoboken, New Jersey.
- Saud, T., Mandal, T.K., Gadi, R., Singh, D.P., Sharma, S.K., Saxena, M. (2011). Emission estimates of particulate matter (PM) and trace gases ( $SO_2$ ,  $NO$  and  $NO_2$ ) from biomass fuels used in rural sector of Indo-Gangetic Plain, India. Volume 45, Issue 32, October 2011, Pages 5913–5923.
- Schneider, P., Lahoz, W. A., and van der A., R. (2015): Recent satellite-based trends of tropospheric nitrogen dioxide over large urban agglomerations worldwide, *Atmos. Chem. Phys.* 15, 1205–1220. <https://doi.org/10.5194/acp-15-1205-2015>.
- varner, A. R. J., Eskes, M. A., Boersma, H. J., van Noije, K. F., Van Roozendaal, T. P. C., De Smedt M., Peters, v., and Mei-er, D. H. M. U., 2013, Trends, seasonal variability and dominant  $NO_x$  source derived from a ten year record of  $NO_2$  measured from space, *J. Geophys. Res.* 113, D04302.
- World Health Organization. (2003). *The world health report 2003: shaping the future*. World Health Organization. <https://www.who.int/>.
- Zhou, Y., Bruer, D., Hueglin, Ch., Henne, S., Staehelin, J. (2012). Changes in OMI tropospheric  $NO_2$  columns over Europe from 2004 to 2009 and the influence of meteorological variability.